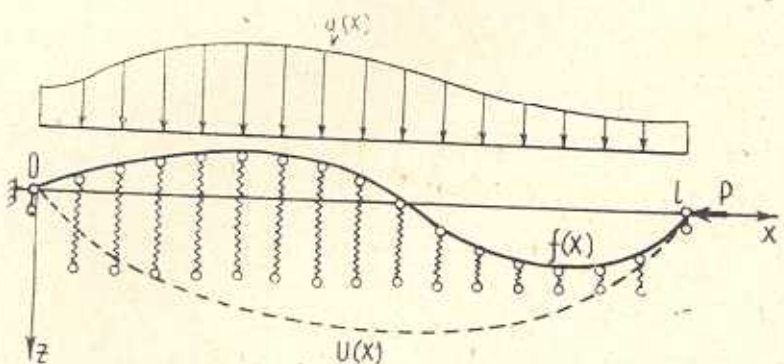


Н. В. БАНИЧУК, А. Д. ЛАРИЧЕВ

## ОПТИМИЗАЦИЯ ПРЕДВАРИТЕЛЬНО ИЗОГНУТЫХ СТЕРЖНЕЙ

Рассматриваются задачи оптимизации жесткости предварительно искривленного стержня, лежащего на упругом винклеровском основании. Стержень нагружен продольными и поперечными изгибающими силами. Минимизация критерия качества осуществляется за счет наилучшего выбора распределения начальных кривизн по стержню. Дан вывод сопряженного уравнения и необходимых условий экстремума. Приводится пример и результат расчета оптимального решения для заданных значений параметров, характеризующих величины нагрузок, податливость основания.

§ 1. Приведем постановку задачи и основные уравнения. Рассмотрим изгиб предварительно искривленного стержня, лежащего на упругом винклеровском основании, коэффициент податливости которого равен  $C$ . Стержень шарнирно закреплен в точках  $x = 0$  и  $x = l$ , подвержен сжатию силой  $P$  и действию поперечной нагрузки  $q(x)$  (фиг. 1).



Фиг. 1.

Форма криволинейного стержня в недеформированном состоянии (при отсутствии основания и действия нагрузок) описывается функцией  $f(x)$ . Начальная кривизна стержня предполагается малой. Смещения, получаемые точками оси стержня в направлении оси  $z$ , при действии нагрузок и реакции основания обозначим через  $u(x)$ . Величины смещений  $u(x)$  отсчитываются от недеформируемой оси криволинейного стержня,

то есть полное отклонение стержня от оси  $x$  определяется величиной  $f(x) + u(x)$ , а реакция винклеровского основания равна  $C[f(x) + u(x)]$ . Уравнение равновесия и граничные условия имеют вид [1]

$$(Du_{xx})_{xx} + Pu_{xx} + Ca + Pf_{xx} + Cf = q(x) \quad (1.1)$$

$$u(0) = u(l) = 0, \quad Du_{xx}|_{x=0} = Du_{xx}|_{x=l} = 0 \quad (1.2)$$

где  $D = EI$ ,  $E$  — модуль Юнга, а  $I$  — момент инерции сечения стержня. Считается, что модуль Юнга и момент инерции не меняются вдоль стержня, тем самым обеспечивая постоянство величины  $D$ .

Будем считать полную длину стержня заданной и равной  $L$ . Это приводит к изопериметрическому условию

$$\int_0^l \sqrt{1+f_x^2} dx = L$$

Учитывая то, что стержень является слабо искривленным, данное соотношение можно записать в виде

$$\int_0^l f_x^2 dx = \beta, \quad \text{где } \beta = 2(L-l) \quad (1.3)$$

Кроме того, из условия шарнирного закрепления стержня в точках  $(0, 0)$  и  $(l, 0)$  вытекает, что функция  $f(x)$  предварительного распределения кривизны должна также удовлетворять следующим граничным условиям:

$$f(0) = f(l) = 0 \quad (1.4)$$

Функция  $f(x)$ , удовлетворяющая условию непрерывности, изопериметрическому равенству (1.3) и граничным условиям (1.4), рассматривается ниже в качестве искомой управляющей переменной. Исследуемая задача оптимизации формулируется следующим образом. Требуется найти непрерывную функцию  $f(x)$ , удовлетворяющую условиям (1.3), (1.4) и такую, что перемещения  $u(x)$ , определяемые из краевой задачи (1.1), (1.2), доставляют минимум функционалу качества

$$\bar{J} = \int_0^l q(x) u(x) dx \rightarrow \min \quad (1.5)$$

Сформулированная задача относится к классу несамосопряженных задач оптимизации. Уравнение (1.1) играет роль дифференциальной связи, для учета которой используется метод множителей Лагранжа и с его помощью выведем уравнение для сопряженной переменной.

Заметим, что ранее [2] в теории изгиба стержней исследовались задачи оптимизации механических характеристик за счет наилучшего распределения «толщин» по стержню или распределения жесткости  $D(x)$ .

В отличие от указанных работ, в данном исследовании рассмотрен новый тип управления — управление предварительной кривизной.

§ 2. Получим уравнение для сопряженной переменной и условие оптимальности. Составим расширенный функционал Лагранжа

$$\Pi = \bar{J} + \int_0^l v(x) [(Du_{xx})_{xx} + Pu_{xx} + Cu + Pf_{xx} + Cf - q(x)] dx + \\ + \lambda \int_0^l f_x^2 dx$$

Через  $v(x)$  в этом выражении обозначена сопряженная переменная, а константа  $\lambda$  определяется из изопериметрического условия (1.3). Выпиньв выражение для первой вариации функционала  $\Pi$  и выполняя стандартные преобразования (интегрирование по частям), преобразуем выражение для  $\delta\Pi$  к виду

$$\delta\Pi = \int_0^l [(Du_{xx})_{xx} + Pv_{xx} + Cv + q(x)] \delta u + \\ + [Pv_{xx} + Cv - 2f_{xx}] \delta f dx + v \delta [(Du_{xx})_x]_0^l + Dv_{xx} \delta (u_x)_0^l$$

Из условия  $\delta\Pi = 0$  приходим к краевой задаче для сопряженной переменной

$$(Du_{xx})_{xx} + Pv_{xx} + Cv = -q(x) \quad (2.1)$$

$$v(0) = v(l) = 0, \quad Dv_{xx}|_{x=0} = Dv_{xx}|_{x=l} = 0 \quad (2.2)$$

и к необходимому условию оптимальности

$$Pv_{xx} + Cv - 2f_{xx} = 0 \quad (2.3)$$

Отметим, что сопряженная переменная  $v(x)$ , определяемая как решение краевой задачи (2.1) при граничных условиях (2.2), описывает распределение прогибов прямолинейного стержня, лежащего на упругом основании, подверженного действию продольной силы  $P$  и поперечной нагрузки  $q(x)$ . Эта интерпретация позволяет при отыскании функции  $v(x)$  использовать имеющиеся результаты расчета для стержня на упругом основании.

Уравнения (2.1) и (2.3) совместно с уравнениями (1.1)–(1.4) составляют замкнутую систему соотношений, служащую для определения неизвестных величин  $u$ ,  $v$ ,  $f$ ,  $\lambda$ . Заметим, что краевая задача (2.1), (2.2) (служащая для определения сопряженной переменной) не зависит от управляющей функции  $f(x)$  и описывает продольно-поперечный изгиб балки на упругом основании, шарнирно закрепленной в точках  $x=0$ ,  $x=l$ .

§ 3. Рассмотрим случай, когда стержень нагружен постоянной попеченной нагрузкой  $q(x) = q_0$ , а продольные силы являются сжимающими  $P > 0$ , причем будем предполагать, что основные параметры задачи удовлетворяют следующим неравенствам:

$$P < \frac{n^2 \pi^2 D}{l^2} + \frac{C l^2}{n^2 \pi^2} \text{ при } \frac{C l^4}{\pi^4 D} \leq n^2 (n+1)^2$$

$$P < \frac{(n+1)^2 \pi^2 D}{l^2} + \frac{C l^2}{(n+1)^2 \pi^2} \text{ при } \frac{C l^4}{\pi^4 D} > n^2 (n+1)^2 \quad (3.1)$$

$$n = \text{entier} \left( \frac{l}{\pi} \sqrt{\frac{C}{D}} \right)$$

При выполнении условий (3.1) стержень находится в докритическом состоянии и не теряет устойчивости.

Получим выражение для сопряженной переменной  $v(x)$ . С этой целью проинтегрируем уравнение (2.1) и выберем четыре постоянных интегрирования, используя для этого четыре граничных условия (2.2). Будем иметь в первом случае, когда  $P^2/4D > C$

$$v = C_1 \sin A_1 x + C_2 \cos A_1 x + C_3 \sin A_2 x + C_4 \cos A_2 x - q_0/C$$

$$A_1 = \sqrt{\frac{P}{2D} - \sqrt{\frac{P^2}{4D^2} - \frac{C}{D}}}, \quad A_2 = \sqrt{\frac{P}{2D} + \sqrt{\frac{P^2}{4D^2} - \frac{C}{D}}}$$

$$C_1 = \frac{A_2^2}{A_2^2 - A_1^2} \frac{q_0}{C} \frac{(1 - \cos A_1 l)}{\sin A_1 l}, \quad C_2 = \frac{A_2^2}{A_2^2 - A_1^2} \frac{q_0}{C}$$

$$C_3 = \frac{A_1^2}{A_1^2 - A_2^2} \frac{q_0}{C} \frac{(1 - \cos A_2 l)}{\sin A_2 l}, \quad C_4 = \frac{A_1^2}{A_1^2 - A_2^2} \frac{q_0}{C}$$

во втором случае, когда  $P^2/4D = C$

$$v = C_1 \sin \mu x + C_2 \cos \mu x + C_3 x \cos \mu x + C_4 x \sin \mu x - q_0/C$$

$$\mu = \sqrt{\frac{P}{2D}}$$

$$C_1 = \frac{q_0}{C \sin^2 \mu l} (1 - \cos \mu l) \left( \sin \mu l - \frac{\mu l}{2} \right), \quad C_2 = \frac{q_0}{C}$$

$$C_3 = \frac{q_0 \mu}{2C \sin \mu l} (\cos \mu l - 1), \quad C_4 = \frac{q_0 \mu}{2C} \quad (3.2)$$

в третьем случае, когда  $P^2/4D < C$

$$v = C_1 \operatorname{sh} A_1 x \sin A_2 x + C_2 \operatorname{sh} A_1 x \cos A_2 x + C_3 \operatorname{ch} A_1 x \sin A_2 x + \\ + C_4 \operatorname{ch} A_1 x \cos A_2 x - q_0/C$$

$$A_1 = \sqrt{\sqrt{\frac{C}{4D}} - \frac{P}{4D}}, \quad A_2 = \sqrt{\sqrt{\frac{C}{4D}} + \frac{P}{4D}}$$

$$C_1 = \frac{A_2^2 - A_1^2}{2A_1 A_2} \frac{q_0}{C}, \quad C_2 = \frac{q_0 (A_1^2 - A_2^2)}{2CA_1 A_2} \frac{\sin A_2 l}{(\cosh A_1 l + \cos A_2 l)}$$

$$C_3 = \frac{q_0}{C (\cosh A_1 l + \cos A_2 l)} \left( \sin A_2 l + \frac{A_1^2 - A_2^2}{2A_1 A_2} \sinh A_1 l \right), \quad C_4 = \frac{q_0}{C}$$

Используя найденное представление для сопряженной переменной  $v(x)$  и условие оптимальности (2.3), получим искомое распределение начальных прогибов  $f(x)$ . Для этого последовательно подставляем выражение (3.2) в (2.3) и дважды интегрируем получающиеся уравнения для  $f(x)$ . Определив далее константы интегрирования из условий (1.4), запишем выражения для  $f(x)$  в указанных случаях

$$f(x) = \frac{1}{2l} \left\{ -\frac{q_0 x^2}{2} + \frac{D q_0 A_1^2 A_2^2}{(A_2^2 - A_1^2)^2} \left[ \frac{(1 - \cos A_1 l)}{\sin A_1 l} \sin A_1 x + \cos A_1 x - \frac{(1 - \cos A_2 l)}{\sin A_2 l} \sin A_2 x - \cos A_2 x \right] + \frac{q_0 l}{2} x \right\} \text{ при } \frac{P^2}{4D} > C \quad (3.3)$$

$$f(x) = \frac{1}{2l} \left\{ -\frac{q_0 x^2}{2} - \frac{D q_0 u^3}{2C} \left[ \frac{l(1 - \cos \mu l)}{\sin^2 \mu l} \sin \mu x + \frac{(1 - \cos \mu l)}{\sin \mu l} x \cos \mu x - x \sin \mu x \right] + \frac{q_0 l}{2} x \right\} \text{ при } \frac{P^2}{4D} = C \quad (3.4)$$

$$f(x) = \frac{1}{2l} \left\{ -\frac{q_0 x^2}{2} - \frac{D q_0 (A_1^2 + A_2^2) u^2}{2CA_1 A_2} \left[ -\sinh A_1 x \sin A_2 x + \frac{(\sin A_2 l \sinh A_1 x \cos A_2 x + \sinh A_1 x \cosh A_1 x \sin A_2 x)}{(\cosh A_1 l + \cos A_2 l)} \right] + \frac{q_0 l}{2} x \right\} \quad (3.5)$$

при  $P^2/4D < C$ .

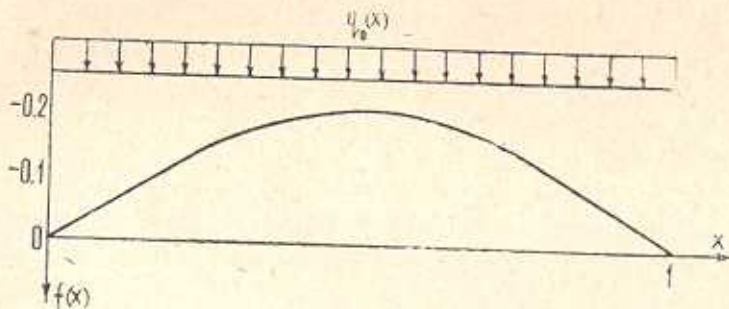
Константа  $\lambda$ , фигурирующая в (3.3)–(3.5), подсчитывается по формуле

$$\lambda = \left[ \frac{1}{8(L-l)} \int_0^l f_x^2 dx \right]^{1/2} \quad (3.6)$$

Для отыскания соответствующих распределений прогибов  $u(x)$  требуется подставить найденные выражения для  $f(x)$  в уравнение равновесия (1.1), выполнить интегрирование этого уравнения и удовлетворить краевым условиям (1.2). Проведя выкладки, приходим к громоздким выражениям для прогибов  $u(x)$ , которые ввиду краткости изложения опустим.

Рассмотрим конкретный пример. Для удобства проведения расчетов воспользуемся безразмерными переменными  $P' = \frac{Pl^2}{D}$ ;  $q'_0 = \frac{q_0 l^4}{D}$ ;  $C' = \frac{Cl^4}{D}$ ;  $x' = \frac{x}{l}$ ;  $L = \frac{L}{l}$  и придадим безразмерным параметрам задачи

следующие значения  $P' = 0$ ;  $C' = 16$ ;  $q_0' = 20$ ;  $L' = 1.1$ . Для указанного набора параметров  $P^2/4D = C$  и, следовательно, справедлива формула (3.4). Оптимальное распределение начальной кривизны  $f(x)$  представлено на фиг. 2. Как видно, отклонение оси стержня от прямолинейного положения является симметричным относительно точки  $x = 1/2$  и направлено против действия поперечной нагрузки.



Фиг. 2.

Оценим эффективность оптимизации. Для этого сопоставим значения функционалов  $\bar{J}$  при рассмотренном наборе параметров для оптимально искривленного стержня и стержня, осевая линия которого является параболой  $f(x) = \sqrt{24(L-l)/l^3}x(x-l)/2$ . Выигрыш, получаемый за счет оптимизации, по сравнению со стержнем, первоначально изогнутым по параболе, составляет 7%.

§ 4. Приведем другую постановку задачи оптимизации предварительно изогнутого стержня на упругом основании. В отличие от задачи, разобранной в § 1—3, будем предполагать, что реакция основания на криволинейный стержень до приложения нагрузок равна нулю, то есть будем считать, что форма поверхности упругого основания совпадает с формой осевой линии ненагруженного стержня. Обозначим, как и прежде, величины смещений в направлении оси  $z$  точек осевой линии стержня под действием нагрузок через  $u(x)$ . Тогда реакция упругого основания будет равна  $Cu(x)$ , а момент продольных сил  $P$  запишется в виде  $P[u(x) + f(x)]$ .

В рассматриваемом случае задача оптимизации заключается в отыскании функции  $f(x)$ , удовлетворяющей изопериметрическому условию (1.3), граничным условиям для  $f(x)$  (1.4) и такой, что функция  $u(x)$ , определяемая как решение краевой задачи для уравнения равновесия

$$(Du_{xx})_{xx} - Pu_{xx} + Cu + Pf_{xx} = q \quad (4.1)$$

при граничных условиях (1.2), доставляет минимум функционалу (1.5).

Для получения условия оптимальности используем методику, примененную ранее в § 2. При этом сопряженная переменная снова определяется как решение краевой задачи (2.1), (2.2). Условие же оптимальности примет вид

$$Pv_{xz} - 2f_{xx} = 0 \quad (4.2)$$

Интегрируя дважды уравнение (4.2) и выбирая константы интегрирования из граничных условий (1.4), будем иметь

$$f(x) = Pv(x)/2. \quad (4.3)$$

Таким образом, функция  $f(x)$ , описывающая форму осевой линии предварительно искривленного стержня, отличается от сопряженной переменной только постоянным множителем  $P/2\lambda$ . Отыскание же сопряженной переменной  $v(x)$  сводится к задаче (2.1), (2.2) расчета балок (прямолинейных стержней) на упругом основании при указанных продольных и поперечных силах. Для типичных статических нагрузок, встречающихся в приложениях, эта задача решена и функция  $v(x)$  может считаться известной.

Приходим к выводу, что отыскание формы предварительно искривленного стержня сводится к вычислению фигурирующего в (4.3) множителя Лагранжа  $\lambda$ . Окончательное решение задачи оптимизации примет вид

$$f(x) = \sqrt{2(L-l)} \left( \int_0^l v_i^2 dx \right)^{-1/2} v \quad (4.4)$$

Таким образом, справедливо следующее утверждение: оптимальное предварительное искривление стержня определяется с точностью до множителя функции распределения прогибов прямолинейного стержня, лежащего на упругом основании при тех же условиях нагружения. Нахождение же множителя сводится к вычислению определенного интеграла.

Это утверждение остается справедливым и для других видов граничных условий.

Институт проблем механики

АН ССР  
ЦНИИСК им. Куценко

Поступила 12 II 1980

Член-корреспондент РАЕН  
Л. Ф. ШАФЕРОВИЧ

Член-корреспондент РАЕН  
Л. Ф. ШАФЕРОВИЧ

Ученый секретарь ЦНИИСК им. Кузнецова  
Л. Ф. ШАФЕРОВИЧ

Ученый секретарь ЦНИИСК им. Кузнецова  
Л. Ф. ШАФЕРОВИЧ

Ученый секретарь ЦНИИСК им. Кузнецова  
Л. Ф. ШАФЕРОВИЧ

## Summary

The problems of optimization of prebending beams on elastic foundation are considered. The minimization criterion of the quality is realized by means of the initial curvity over the beam.

### ЛИТЕРАТУРА

1. Болотин В. В. Применение методов теории вероятности и теории надежности в расчетах сооружений. М., Стройиздат, 1971. 255 с.
2. Niordson F. I., Pedersen P. A review of optimal structural design. Proc. 13-th Int. Congress IUTAM, Moscow, Springer-Verlag, Berlin, 1973.

Приложенные методы оптимизации стальных балок на эластичной основе — (1) и (2).  
Методы вероятностной теории надежности — (3).  
Методы оптимизации стальных балок на эластичной основе — (4).  
Методы оптимизации стальных балок на эластичной основе — (5).

$$x = (x_1, \dots, x_n)$$

Метод оптимизации стальных балок — (6).  
Метод оптимизации стальных балок — (7).  
Метод оптимизации стальных балок — (8).

Метод оптимизации стальных балок — (9).  
Метод оптимизации стальных балок — (10).  
Метод оптимизации стальных балок — (11).

Метод оптимизации стальных балок — (12).  
Метод оптимизации стальных балок — (13).  
Метод оптимизации стальных балок — (14).  
Метод оптимизации стальных балок — (15).  
Метод оптимизации стальных балок — (16).  
Метод оптимизации стальных балок — (17).  
Метод оптимизации стальных балок — (18).

Метод оптимизации стальных балок — (19).  
Метод оптимизации стальных балок — (20).  
Метод оптимизации стальных балок — (21).

Метод оптимизации стальных балок — (22).  
Метод оптимизации стальных балок — (23).